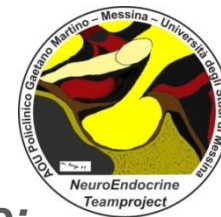




NAPOLI 5-7 MAGGIO 2015



*A peculiar aspect of treatment in Cushing's disease:
Pasireotide between present and future*

THE ROLE OF PASIREOTIDE ON TUMOR MASS

Salvo Cannavò

Dipartimento di Medicina Clinica e Sperimentale

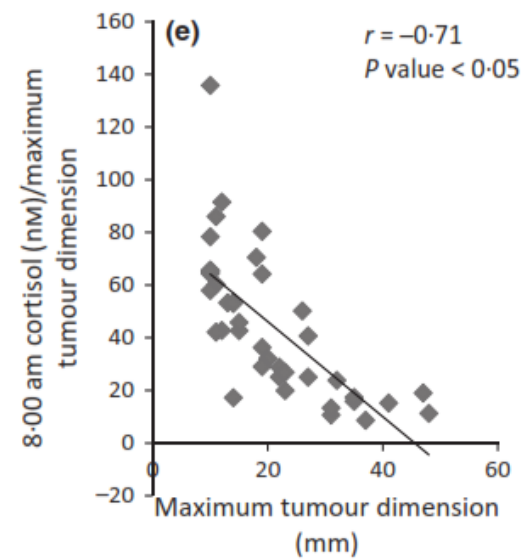
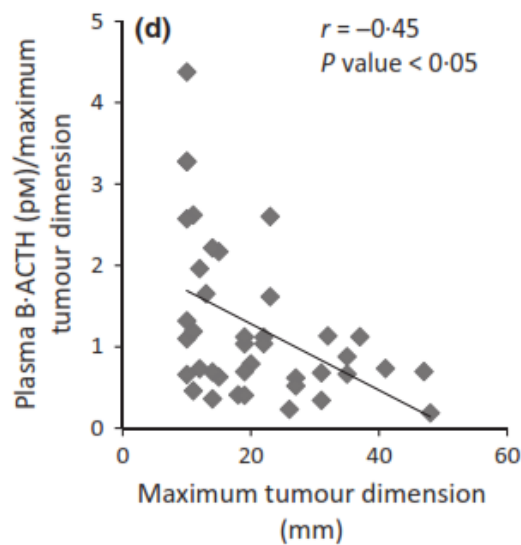
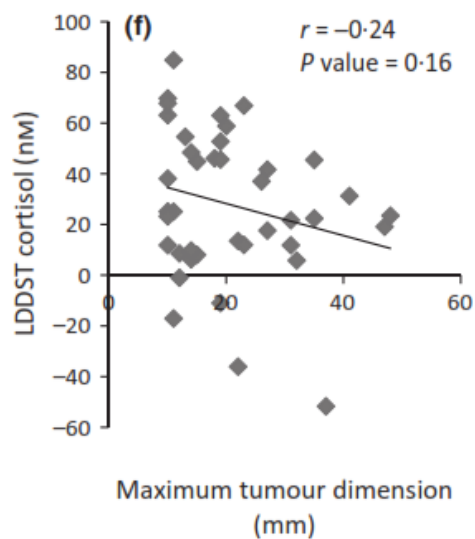
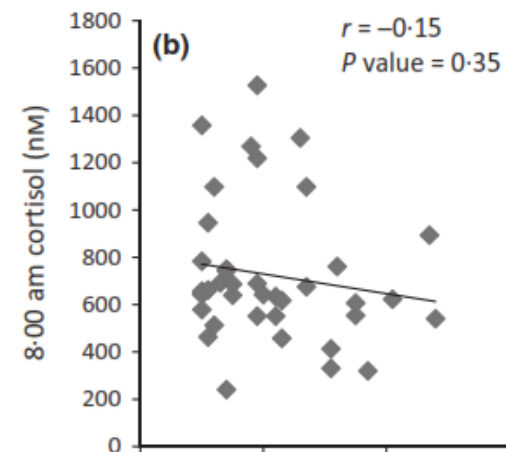
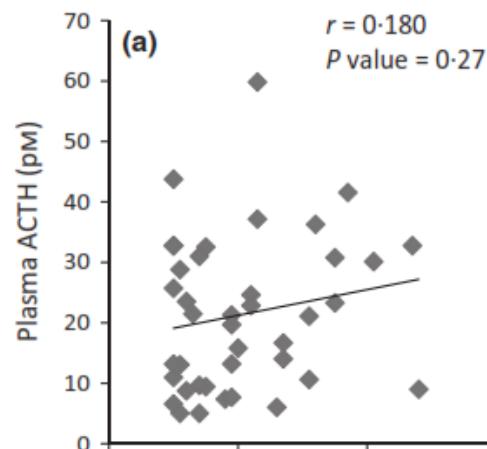
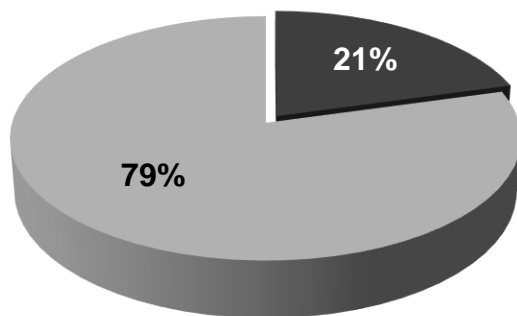
Università di Messina

cannavos@unime.it

Clinical, biochemical and imaging characteristics of Cushing's macroadenomas and their long-term treatment outcome

Harshal Ramesh Kakade*, Rajeev Kasaliwal*, Kranti S. Khadilkar*, Swati Jadhav*, Amol Bukan*, Shruti Khare*, Sweta R. Budyal*, Atul Goelt, Anurag R. Lila*, Tushar Bandgar* and Nalini S. Shah*

■ macroadenomas
■ microadenomas

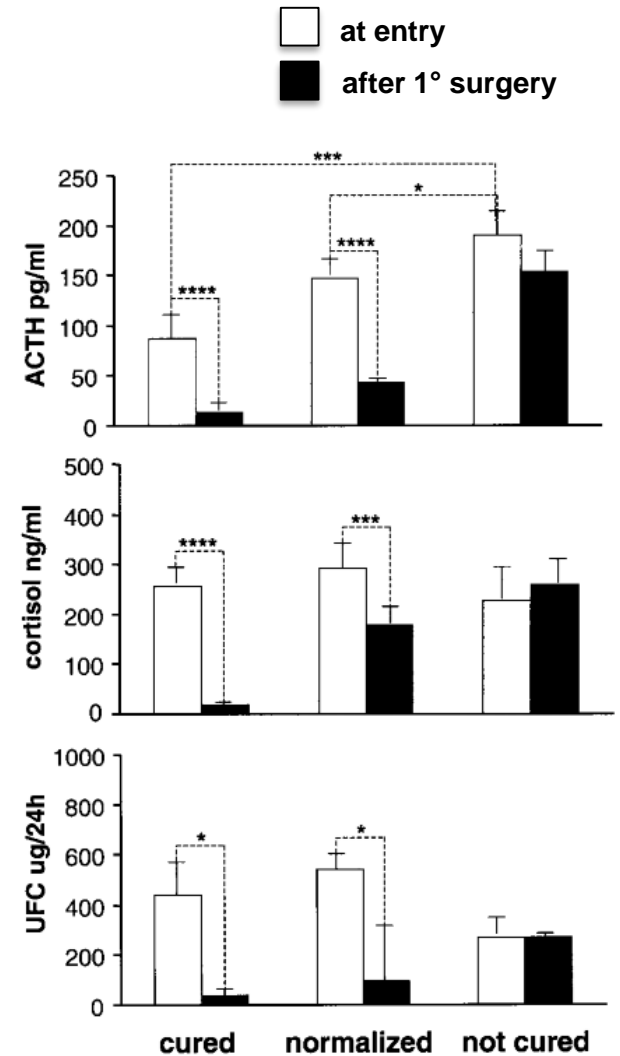
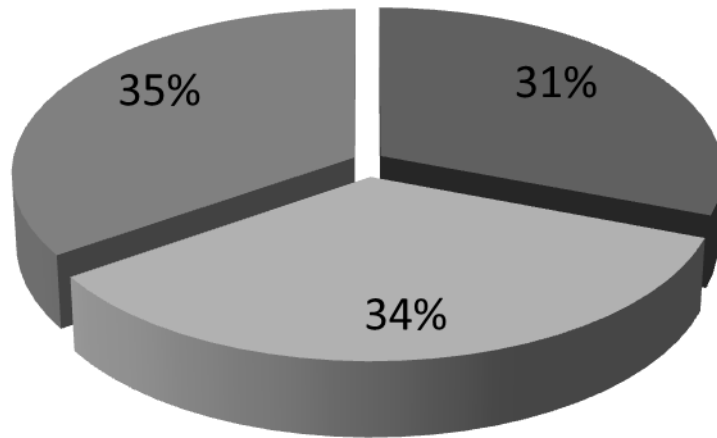


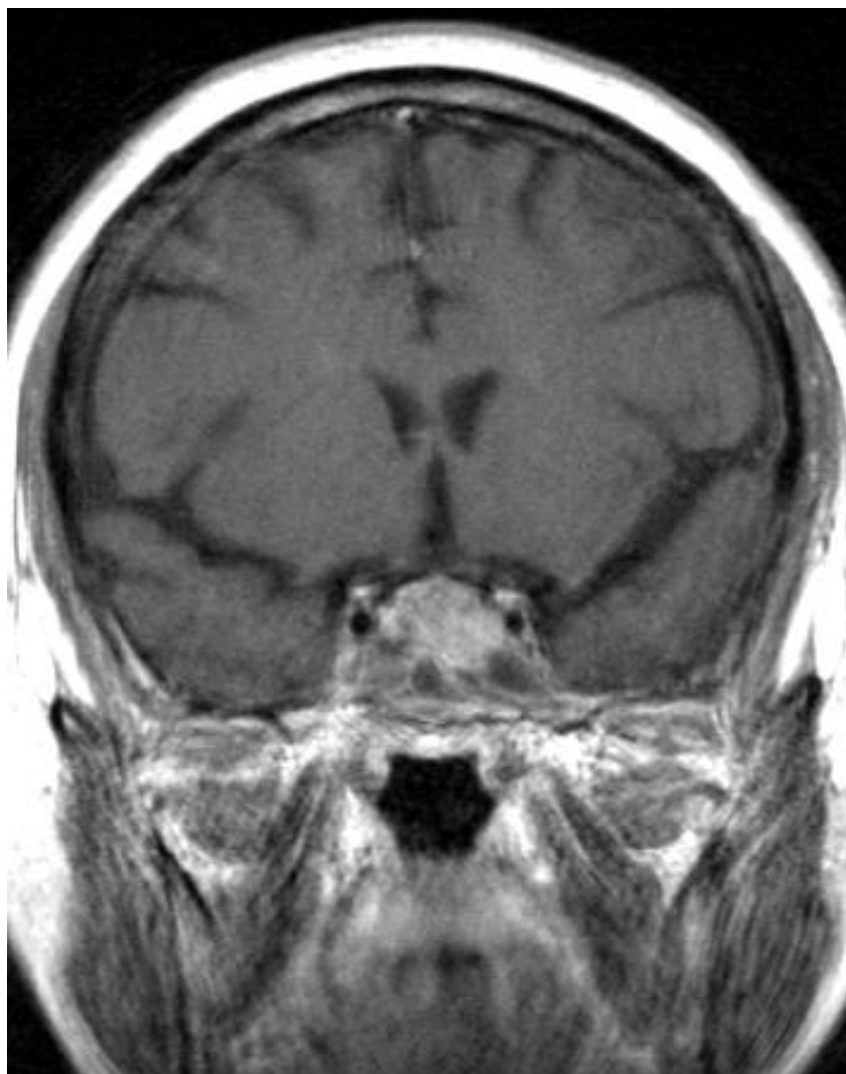


Long-term results of treatment in patients with ACTH-secreting pituitary macroadenomas

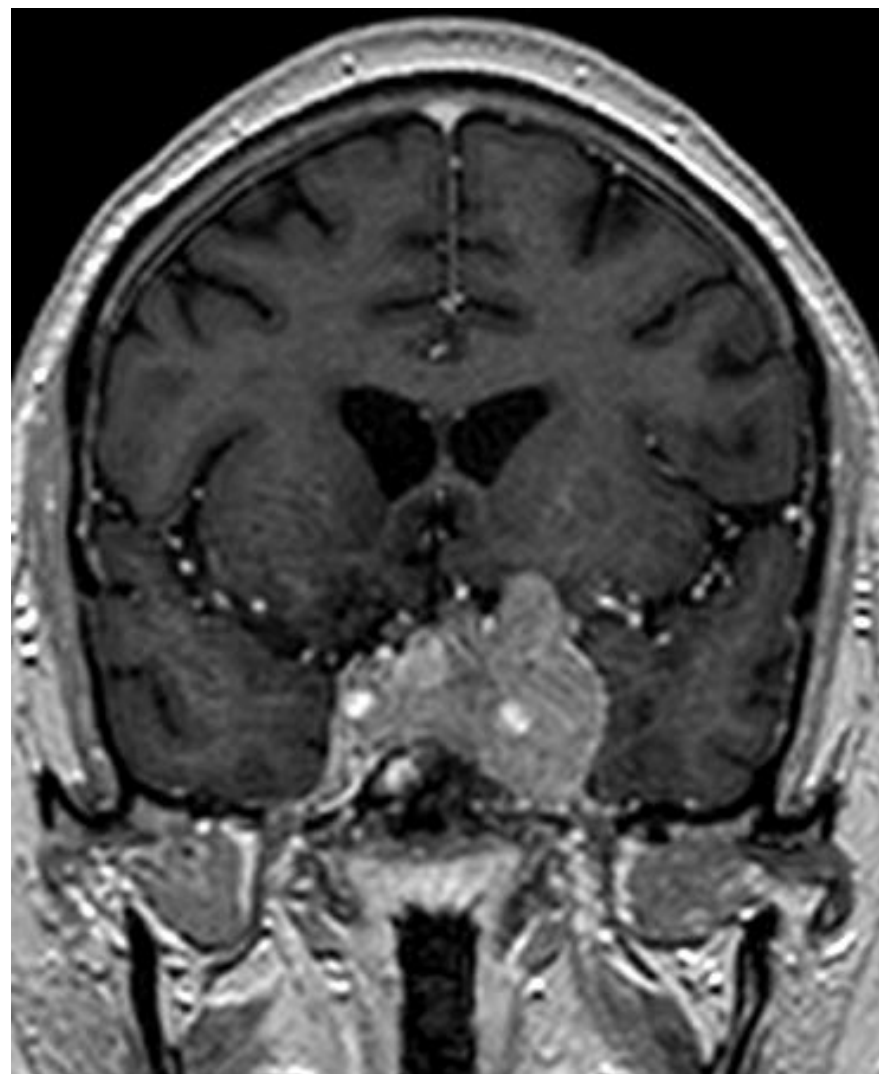
S Cannavò, B Almoto, C Dall'Asta¹, S Corsello², R M Lovicu², E De Menis³, F Trimarchi and B Ambrosi¹

- cured
- normalized
- not cured





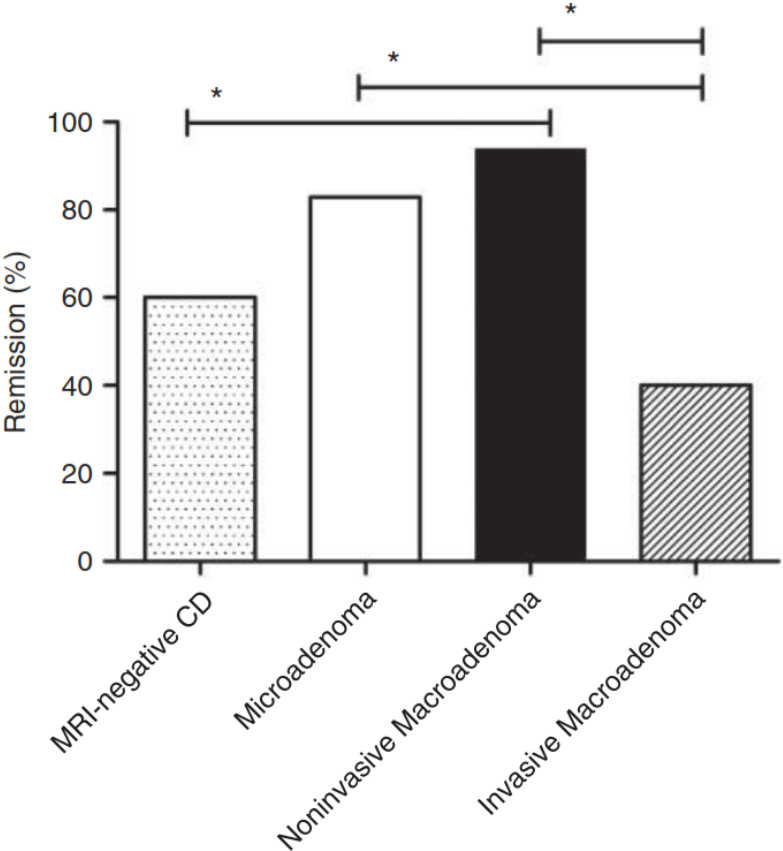
F.M.G., 55 aa, ♀



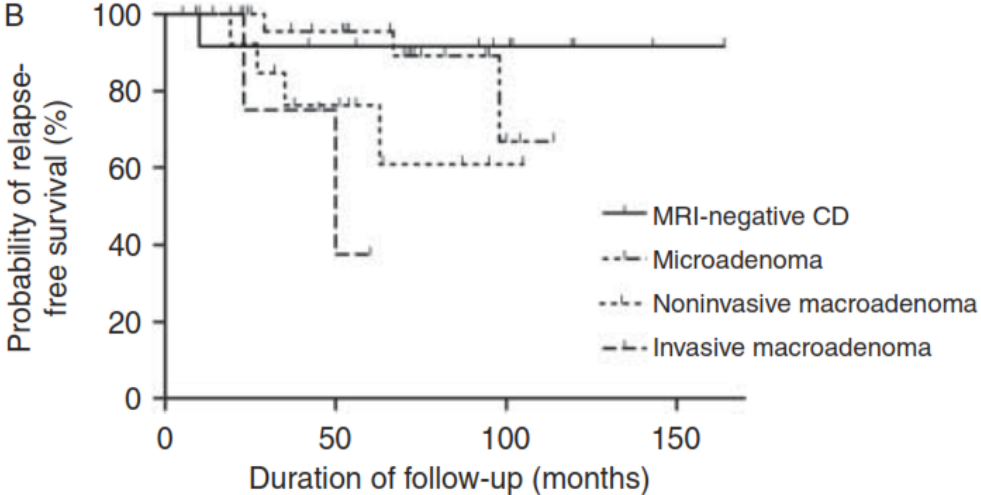
F.M.G., 35 aa, ♂

Endoscopic transsphenoidal pituitary surgery: a good and safe primary treatment option for Cushing's disease, even in case of macroadenomas or invasive adenomas

M A E M Wagenmakers¹, H D Boogaarts², S H P P Roerink¹, H J L M Timmers¹, N M M L Stikkelbroeck¹, J W A Smit¹, E J van Lindert², R T Netea-Maier¹, J A Grotenhuis² and A R M M Hermus¹



B



Macroprolactinoma associated with Cushing's disease, successfully treated with cabergoline

G. T'Sjoen*, I. Defeyter**, J. Van De Saffele*, R. Rubens*, and M. Vandeweghe*



Table 1 - Laboratory investigations at presentation.

| | | Normal value |
|---------------------------|-------|--------------|
| Cortisol µg/dl | 47.6 | 4-24 |
| F (after 1 mg dexa) µg/dl | 35.6 | <3 |
| ACTH pg/ml | 113.2 | 9-52 |
| TSH µU/ml | 0.22 | 1.3-4.3 |
| Free T ₄ ng/dl | 1.0 | 0.9-1.7 |
| PRL ng/ml | 842 | 4-17 |

Table 2 - Effect of treatment on hormonal parameters.

| | 7-week treatment with cabergoline | 37-month treatment with cabergoline | Normal values |
|----------|-----------------------------------|-------------------------------------|---------------|
| Cortisol | 3.3 | 15.9 | 4-24 |
| ACTH | 21.4 | 23.9 | 9-52 |
| PRL | 5.8 | 1.8 | 4-17 |

The Medical Treatment of Cushing's Disease: Effectiveness of Chronic Treatment with the Dopamine Agonist Cabergoline in Patients Unsuccessfully Treated by Surgery

Rosario Pivonello, Maria Cristina De Martino, Paolo Cappabianca, Monica De Leo, Antongiulio Faggiano, Gaetano Lombardi, Leo J. Hofland, Steven W. J. Lamberts, and Annamaria Colao

| Parameter | Responsive patients (n = 15) | | | Resistant patients (n = 5) | | |
|--------------------------------------|------------------------------|-------------------|---------|----------------------------|-------------------|---------|
| | Baseline | 3-month treatment | P value | Baseline | 3-month treatment | P value |
| Body mass index (kg/m ²) | 27.5 ± 0.8 | 28.0 ± 0.8 | 0.115 | 27.7 ± 1.3 | 28.4 ± 1.3 | 0.066 |
| Waist to hip ratio | 1.10 ± 0.04 | 1.08 ± 0.04 | 0.001 | 1.05 ± 0.06 | 1.07 ± 0.06 | 0.221 |
| Systolic blood pressure (mm Hg) | 146.0 ± 3.6 | 135.7 ± 2.9 | 0.001 | 149.0 ± 5.8 | 138.0 ± 3.7 | 0.041 |
| Diastolic blood pressure (mm Hg) | 94.0 ± 2.4 | 87.3 ± 2.2 | 0.002 | 95.0 ± 4.2 | 88.0 ± 3.7 | 0.038 |
| Heart rate (beats/min) | 69.5 ± 1.8 | 74.1 ± 2.3 | 0.014 | 63.2 ± 1.3 | 65.0 ± 0.5 | 0.109 |
| Fasting serum glucose (mg/dl) | 129.3 ± 5.6 | 121.8 ± 4.0 | 0.004 | 124.2 ± 7.7 | 116.2 ± 3.1 | 0.136 |
| Fasting serum insulin (μU/ml) | 11.0 ± 1.2 | 10.1 ± 1.2 | 0.001 | 14.4 ± 1.2 | 13.7 ± 1.1 | 0.104 |
| HOMA-IR | 3.6 ± 0.5 | 3.1 ± 0.4 | 0.002 | 4.4 ± 0.5 | 4.0 ± 0.3 | 0.138 |
| HOMA-B (%) | 65.0 ± 7.2 | 65.4 ± 7.4 | 0.865 | 92.0 ± 17.1 | 94.0 ± 9.4 | 0.500 |
| Plasma ACTH (pg/ml) | 64.9 ± 3.3 | 56.3 ± 3.1 | 0.002 | 78.0 ± 10.3 | 78.6 ± 9.6 | 0.893 |
| Serum cortisol (μg/liter) | 239.3 ± 13.9 | 177.1 ± 13.4 | 0.001 | 288.8 ± 21.1 | 276.8 ± 14.5 | 0.686 |
| Urinary cortisol (μg/d) | 561.9 ± 52.5 | 192.0 ± 29.1 | 0.001 | 674.4 ± 100.5 | 642.2 ± 70.6 | 0.345 |
| Tumor volume (mm ³) | 246.5 ± 40.9 | 230.7 ± 41.5 | 0.047 | 565.3 ± 391.2 | 573.1 ± 394.3 | 0.109 |

| Parameter | Baseline (10 patients) | 12-month treatment (10 patients) | 24-month treatment (8 patients) | P value |
|---------------------------------|------------------------|----------------------------------|---------------------------------|---------|
| Tumor volume (mm ³) | 224.3 ± 31.9 | 158.1 ± 46.2 ^a | 133.7 ± 56.7 ^a | 0.084 |

radiological features of patients with CD long-term responsive to cabergoline treatment

^a P < 0.05 compared with baseline.

Temozolomide-Induced Shrinkage of a Pituitary Carcinoma Causing Cushing's Disease — Report of a Case and Literature Review

Lorenzo Curtò^{1,*}, Maria L. Torre¹, Francesco Ferrau¹, Vincenzo Pitini², Giuseppe Altavilla², Francesca Granata³, Marcello Longo³, Leo J. Hofland⁴, Francesco Trimarchi¹, and Salvatore Cannavò¹

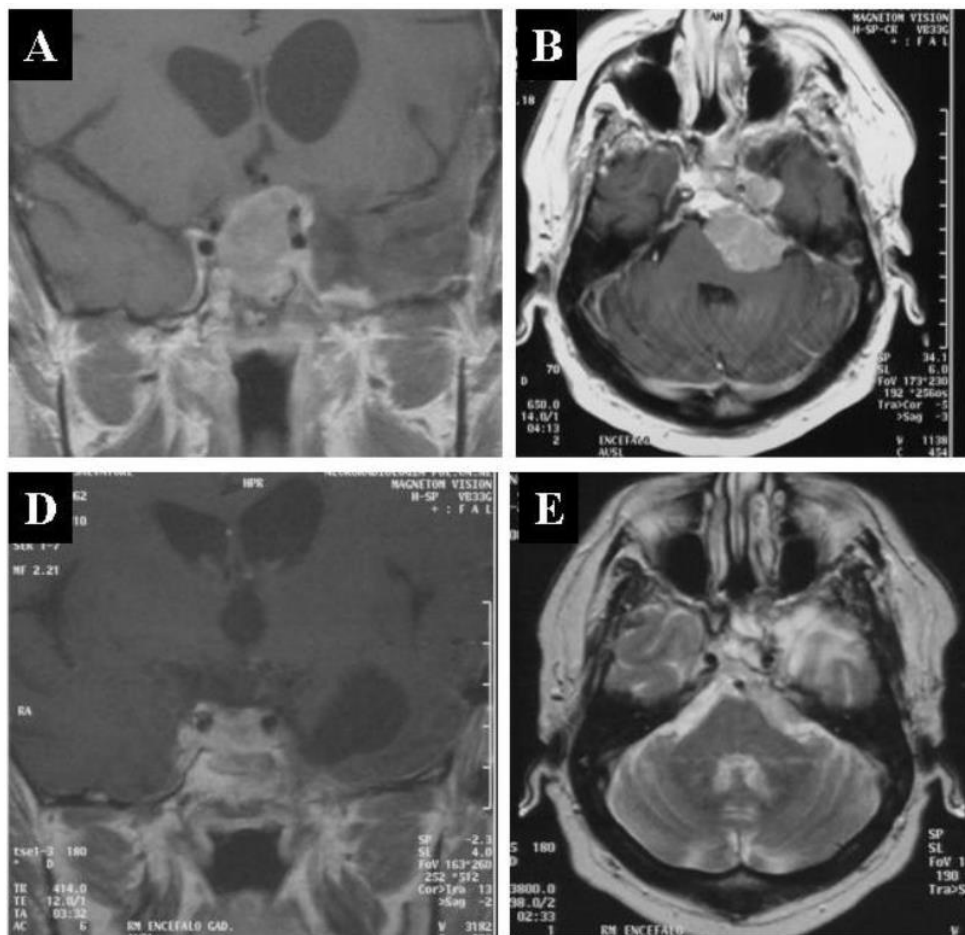
Basal and Dynamic Evaluation of the Hypothalamic-Pituitary-Adrenal Axis

At Presentation

| | |
|---|-------------------------------|
| Morning ACTH (pg/ml) | 93.0 (normal range 5.0–50.0) |
| Morning cortisol (µg/dl) | 44.3 (normal range 5.0–25.0) |
| Urinary free cortisol (µg/24 h) | 367.6 (normal range 5.0–72.0) |
| ACTH after high-dose dexamethasone [§] | 69.0 |
| Cortisol after high-dose dexamethasone [§] | 27.8 |
| CRH (i.v. 1 µg/kg) stimulated ACTH (pg/ml) | 118 (peak = 143) |
| CRH (i.v. 1 µg/kg) stimulated cortisol (µg/ml) | 41 (peak = 45.2) |
| DDAVP* (i.v. 10 µg) stimulated ACTH (pg/ml) | 82 (peak = 378) |
| DDAVP* stimulated cortisol (µg/ml) | 35.7 (peak = 63.4) |

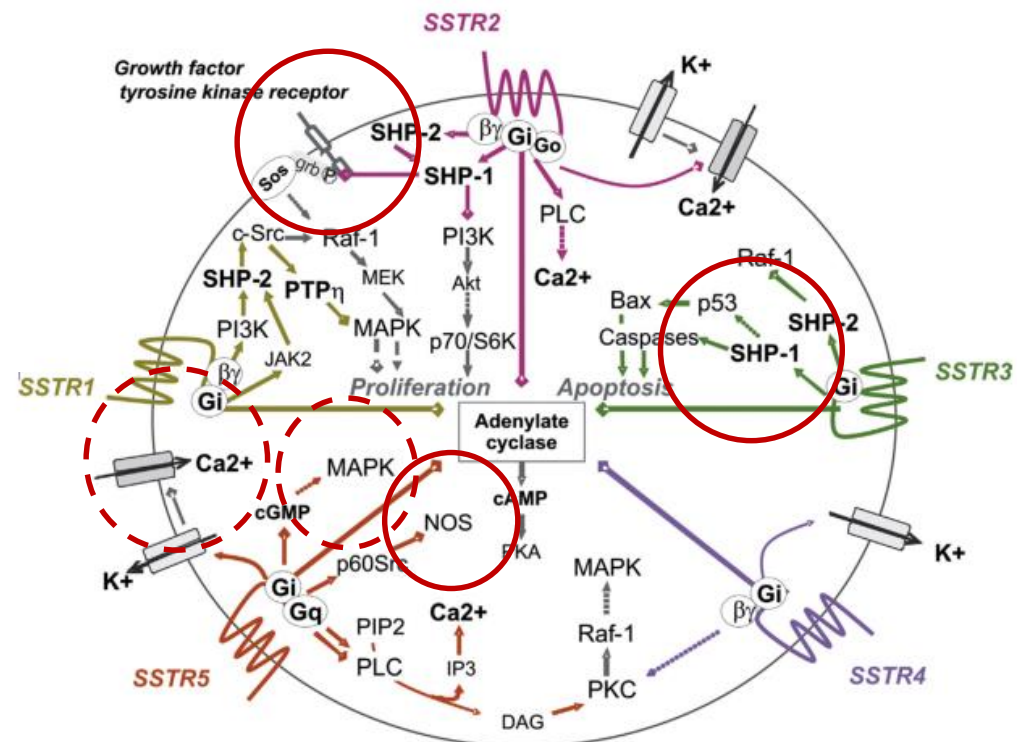
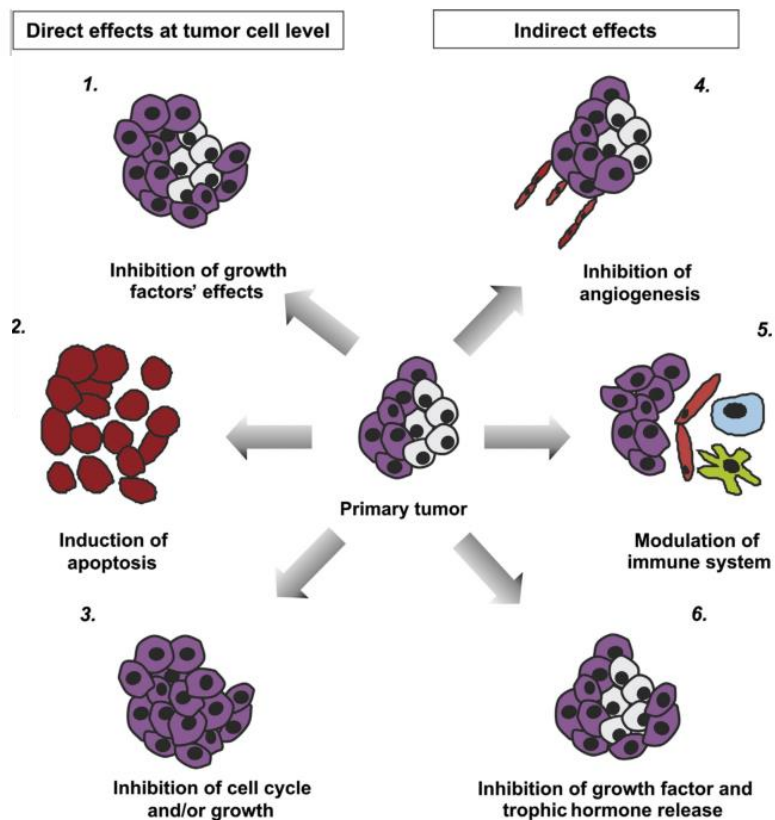
[§] Oral dexamethasone suppression test (8 mg daily for 2 days, consecutively).

* Desmopressin acetate.



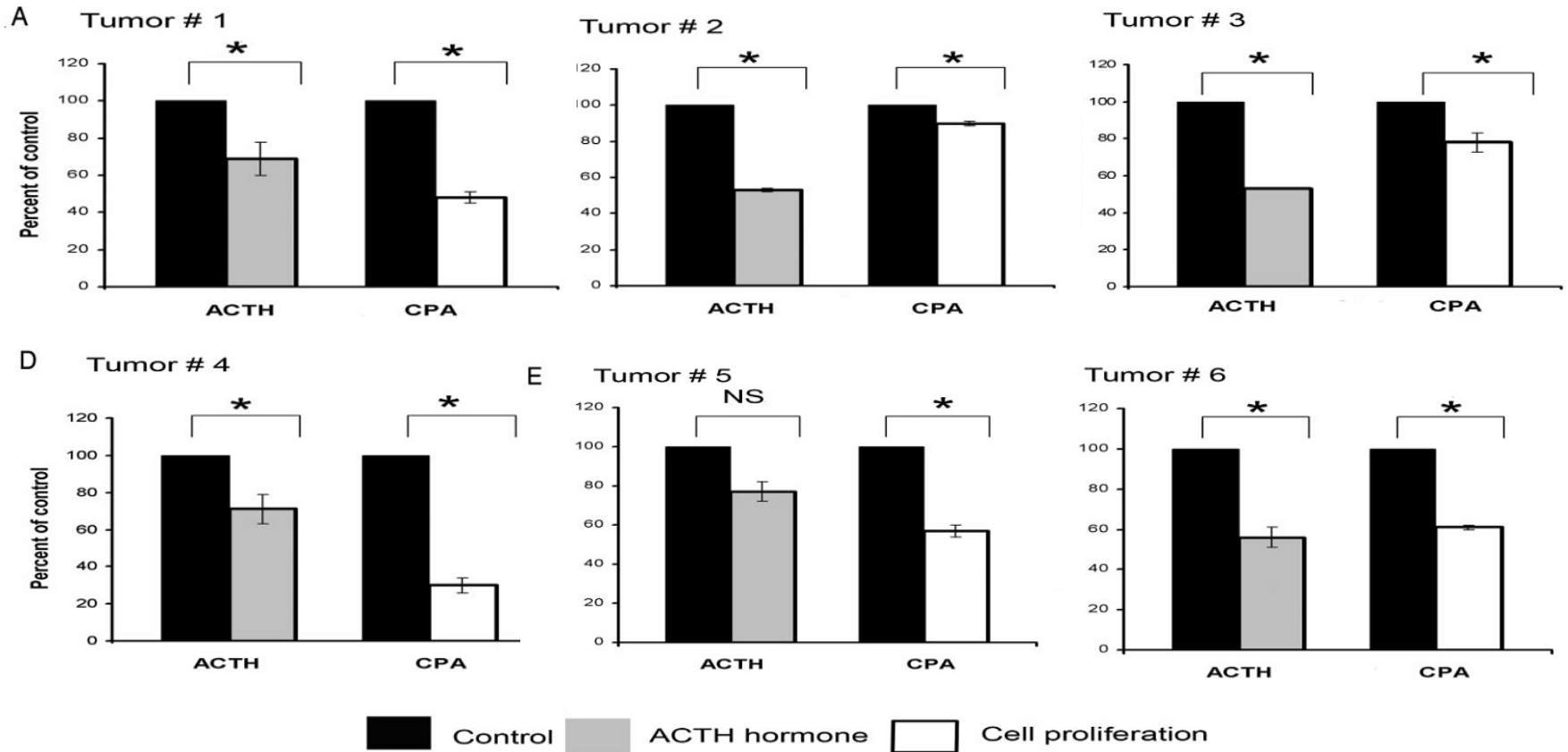
Somatostatin receptors: From signaling to clinical practice

Marily Theodoropoulou*, Günter K. Stalla



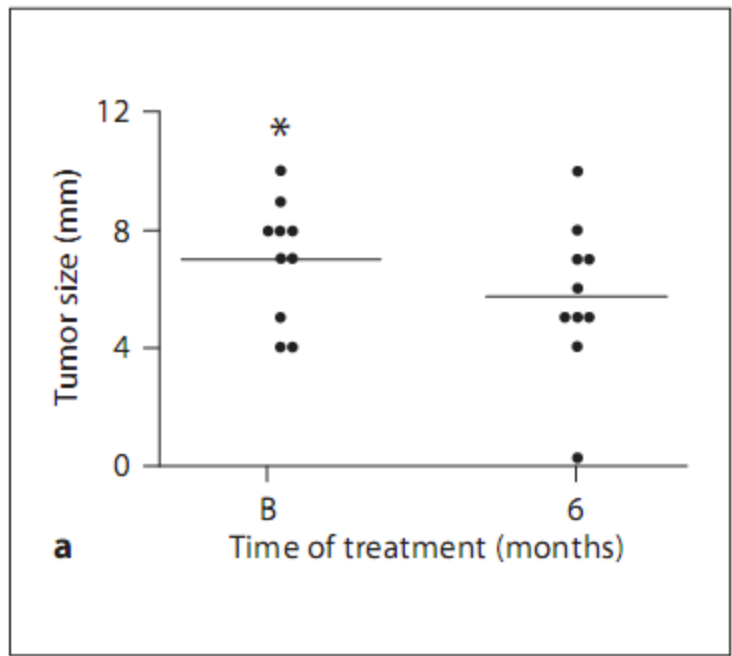
The Effects of SOM230 on Cell Proliferation and Adrenocorticotropin Secretion in Human Corticotroph Pituitary Adenomas

Dalia L. Batista, Xun Zhang, Roger Gejman, Peter J. Ansell, Yunli Zhou, Sarah A. Johnson, Brooke Swearingen, E. Tessa Hedley-Whyte, Constantine A. Stratakis, and Anne Klibanski

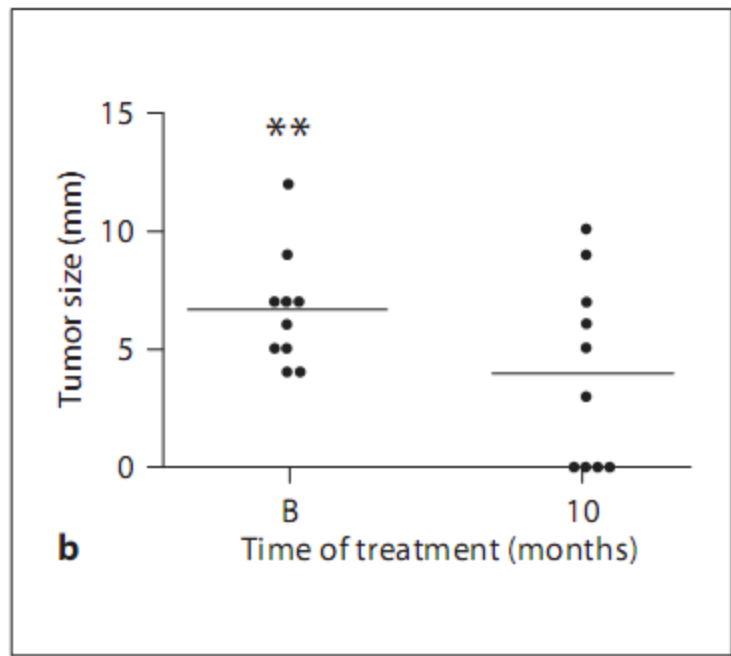


Effect of SOM230 (Pasireotide) on Corticotrophic Cells: Action in Dogs with Cushing's Disease

Victor Castillo^a Marily Theodoropoulou^b Johanna Stalla^b
Maria Florencia Gallelli^a Maria Fernanda Cabrera-Blatter^a Mariana R. Haedo^{c,d}
Marta Labeur^b Herbert A. Schmid^e Günter K. Stalla^b Eduardo Arzt^{c,d}



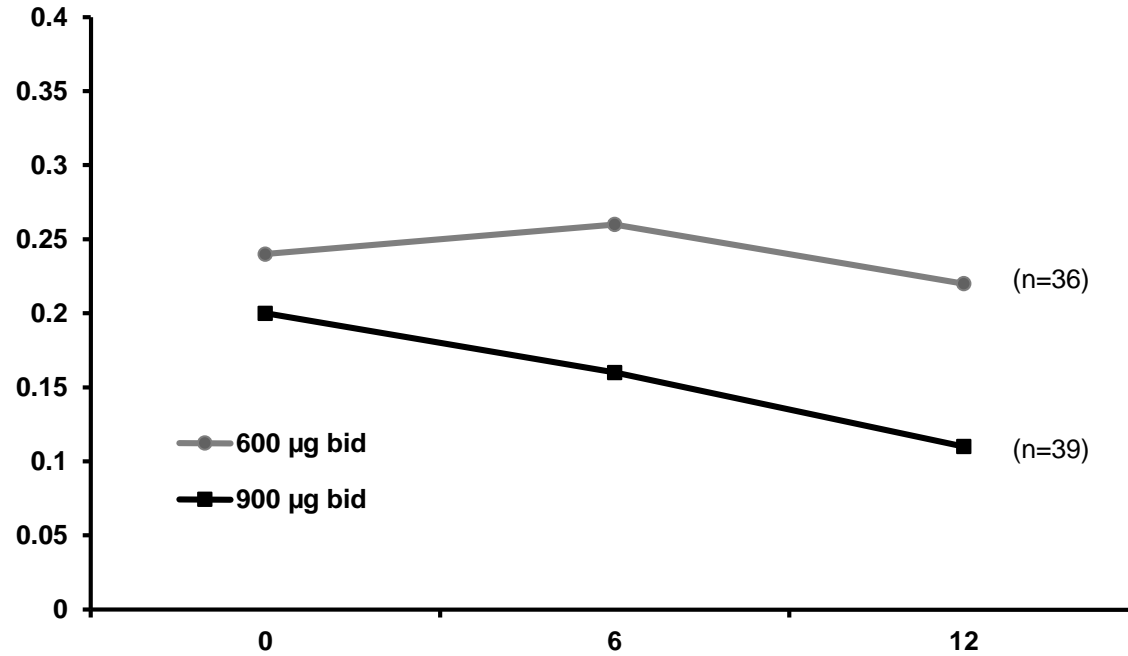
Group 1: p 0.04



Group 2: p 0.002

A 12-Month Phase 3 Study of Pasireotide in Cushing's Disease

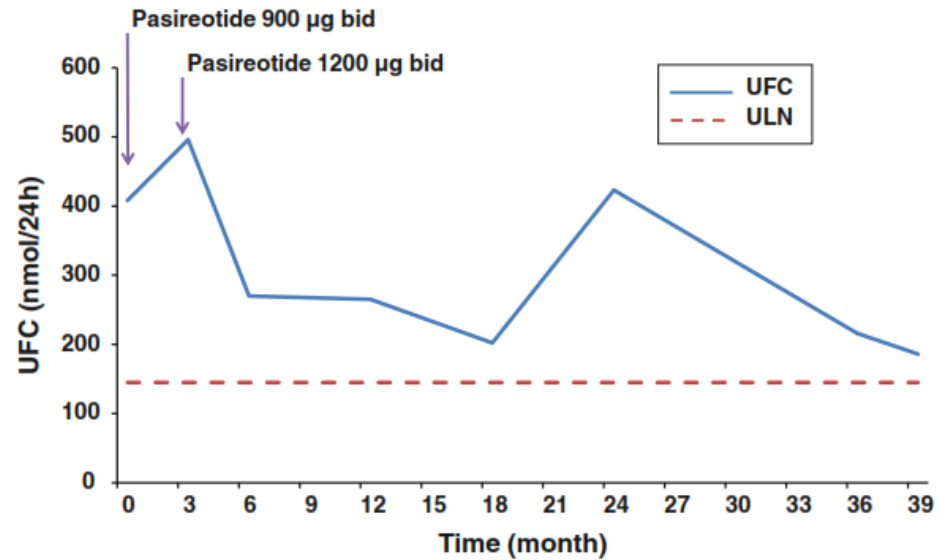
Annamaria Colao, M.D., Ph.D., Stephan Petersenn, M.D.,
John Newell-Price, M.D., Ph.D., James W. Findling, M.D., Feng Gu, M.D.,
Mario Maldonado, M.D., Ulrike Schoenherr, Dipl.-Biol., David Mills, M.Sc.,
Luiz Roberto Salgado, M.D., and Beverly M.K. Biller, M.D.,
for the Pasireotide B2305 Study Group*



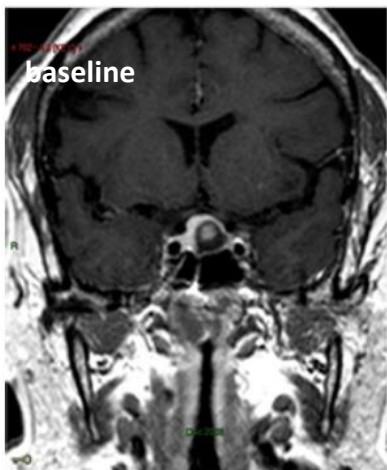
Pituitary-directed medical therapy with pasireotide for a corticotroph macroadenoma: pituitary volume reduction and literature review

Ilan Shimon · Liat Rot · Edna Inbar

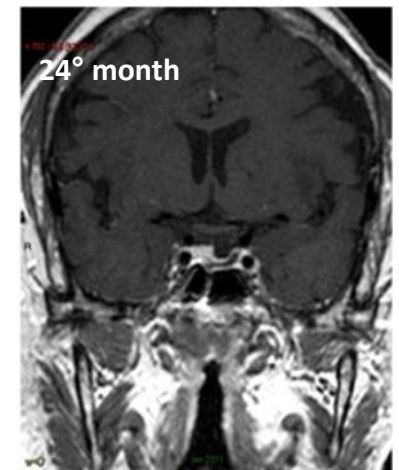
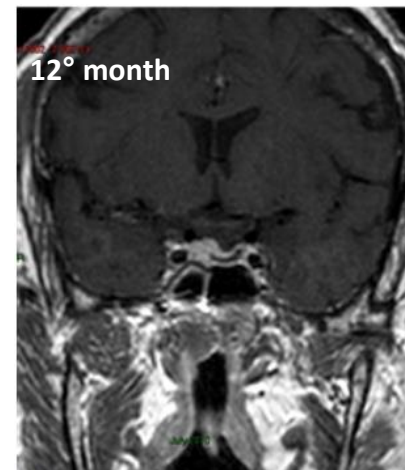
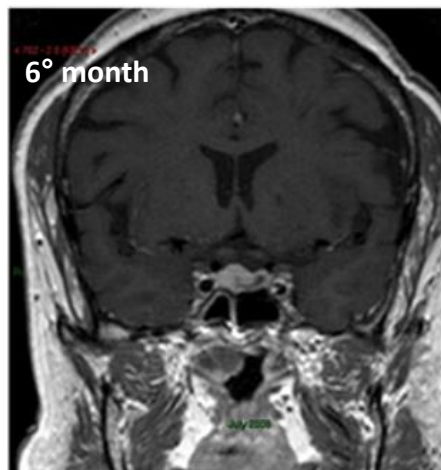
| | patient | n.v. | units |
|-------------------------|---------|----------|-----------|
| UFC | 694-705 | <208 | nmol/24 h |
| Cortisol h 8.00 | 743 | <690 | nmol/L |
| ACTH | 11.7 | 1.1-10.1 | pmol/L |
| Cortisol 1mg-Dex | 558 | <50 | nmol/L |



Cortisol h 8.00: 738 nmol/L



Cortisol h 8.00: 523 nmol/L



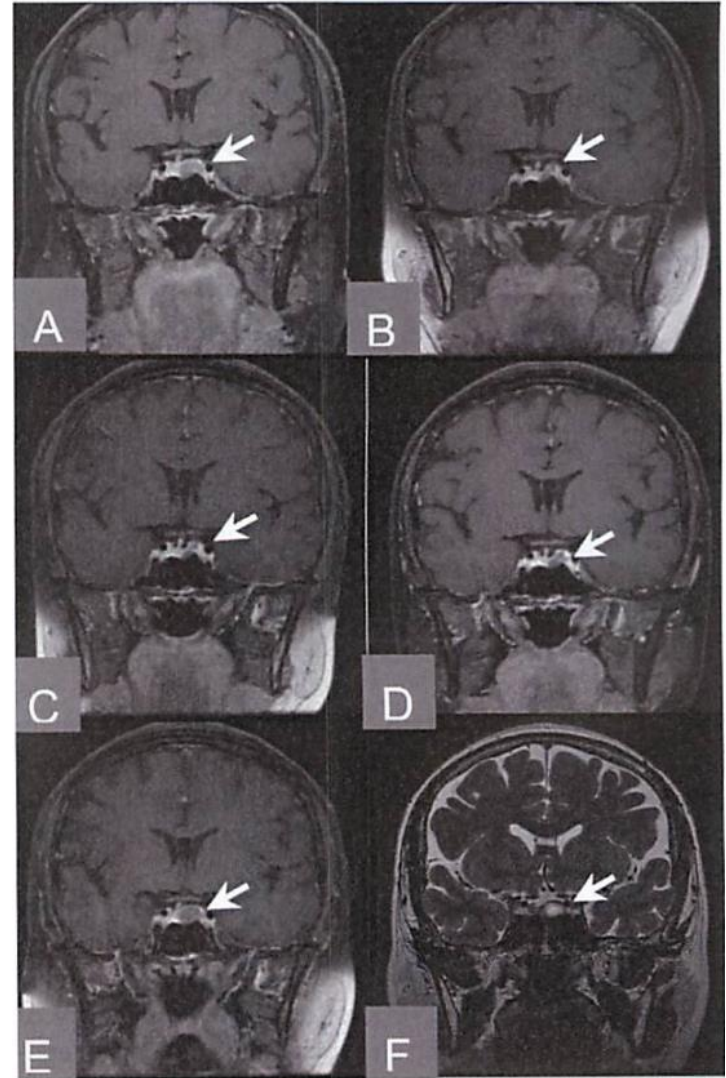
EFFECTIVE LONG-TERM TREATMENT OF CUSHING'S DISEASE WITH PASIREOTIDE: A CASE REPORT

Lin Lu, MD; Lian Duan, MD; Zimeng Jin, MD;
Zhaolin Lu, MD; Feng Gu, MD

Table 1
Treatment Responses After Pasireotide Injection

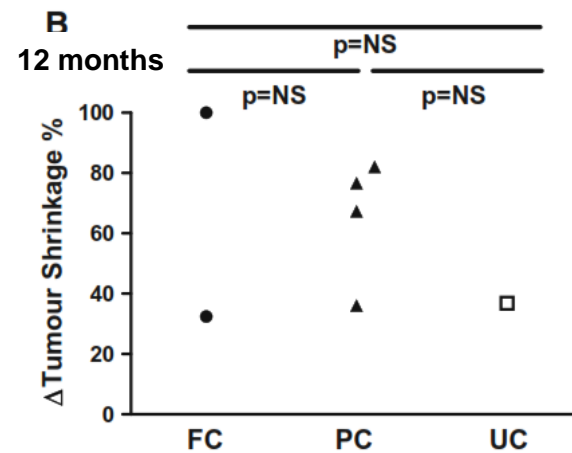
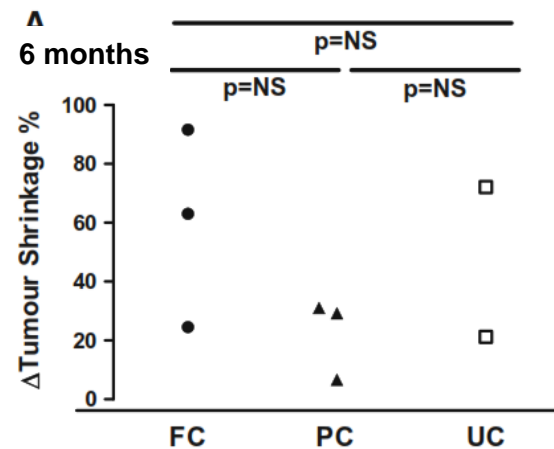
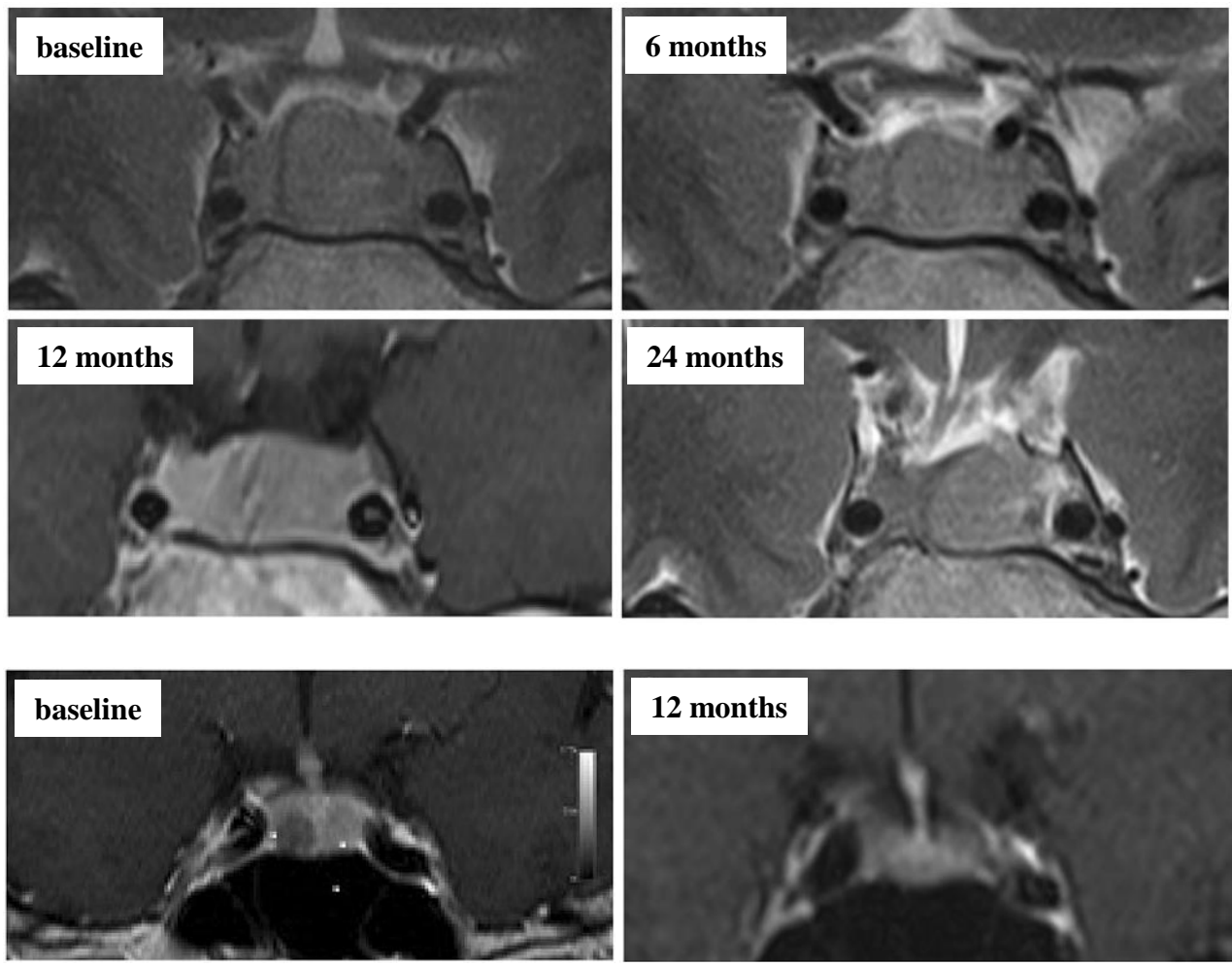
| Months after treatment | Pasireotide injection dosage | UFC, $\mu\text{g}/24\text{h}$ | Morning serum cortisol, $\mu\text{g}/\text{dL}$ | Morning plasma ACTH, ng/L | Tumor volume, cm^3 |
|------------------------|------------------------------|-------------------------------|---|---|-----------------------------|
| Baseline | ND | 151.1 | 18.1 | 130 | 0.797 |
| 1 month | 900 μg bid | 7.4 | 7.3 | 71 | ND |
| 2 months | 600 μg bid | 9.2 | 7.1 | 65 | ND |
| 3 months | 600 μg bid | 15.2 | 8.7 | 49 | ND |
| 5 months | 600 μg bid | 32.2 | 9.7 | 61 | ND |
| 6 months | 600 μg bid | 31.2 | 12.3 | 63 | 0.375 |
| 9 months | 600 μg bid | 33.9 | 13.8 | 54 | ND |
| 12 months | 600 μg bid | 86.2 | 12.0 | 46 | 0.277 |
| 15 months | 900 μg bid | 19.7 | 16.5 | 63 | ND |
| 18 months | 900 μg bid | 103.6 | 10.4 | 51 | 0.359 |
| 21 months | 900 μg bid | 58.3 | 9.4 | 46 | ND |
| 24 months | 900 μg bid | 12.7 | 11.9 | 74 | 0.365 |
| 30 months | 900 μg bid | 97.1 | 12.6 | 58 | |

Abbreviations: ACTH = adrenocorticotropic hormone; ND = not done; UFC = urinary free cortisol.
UFC normal range: 10.9–52.5 $\mu\text{g}/24\text{h}$; plasma ACTH normal range: 0–46 ng/L ; morning serum cortisol normal range: 4.3–22.4 $\mu\text{g}/\text{dL}$.



The treatment with pasireotide in Cushing's disease: effects of long-term treatment on tumor mass in the experience of a single center

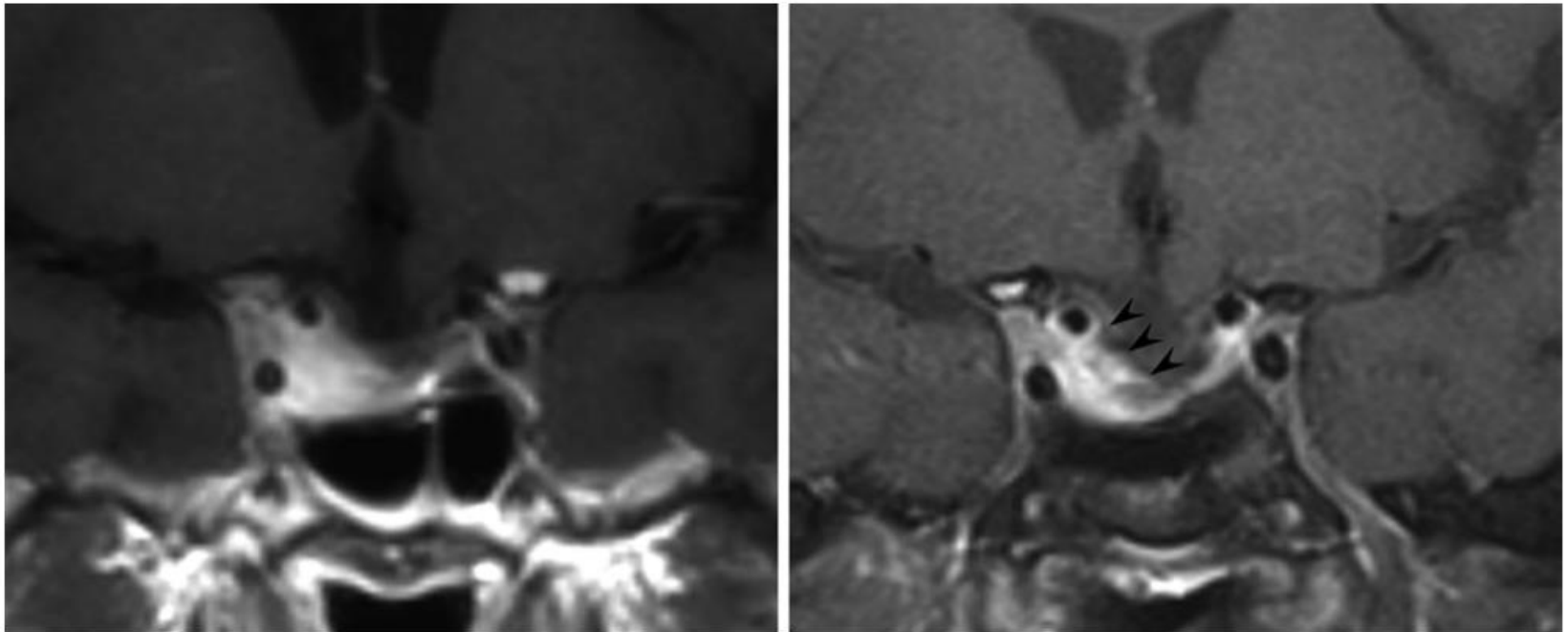
Chiara Simeoli · Renata Simona Auriemma · Fabio Tortora · Monica De Leo · Davide Iacuanello · Alessia Cozzolino · Maria Cristina De Martino · Claudia Pivonello · Ciro Gabriele Mainolfi · Riccardo Rossi · Sossio Cirillo · Annamaria Colao · Rosario Pivonello



FC: full controlled
PC: partial controlled
UC: uncontrolled

Temozolomide and pasireotide treatment for aggressive pituitary adenoma: expertise at a tertiary care center

Filippo Ceccato · Giuseppe Lombardi · Renzo Manara · Enzo Emanuelli · Luca Denaro · Laura Milanese · Marina Paola Gardiman · Roberta Bertorelle · Massimo Scanarini · Domenico D'Avella · Gianluca Occhi · Marco Boscaro · Vittorina Zagonel · Carla Scaroni



| Case | Sex, age (years) | PA | MIB-1 (%) | p53 | Prior surgery (n) | RT (months) | Age at start of TMZ (years) | TLS to T0 (months) | No. of TMZ cycles | HR | Response to TMZ | Tumor volume change with TMZ (%) |
|------|------------------|--------------------------|-----------|-----|-------------------|-------------|-----------------------------|--------------------|-------------------|------|-----------------|----------------------------------|
| 1 | F, 67 | NFPA | <3 | Neg | 1 | No | 69 | 26 | 6 | n.a. | PD | +42 |
| 2 | F, 39 | GH | <3 | Pos | 2 | No | 48 | 28 | 3 | no | PD | +45 |
| 3 | M, 40 | NFPA ^a | <3 | Pos | 4 | Yes (1) | 43 | 29 | 12 | n.a. | PR | -49 |
| 4 | M, 32 | ACTH | >3 | Pos | 4 | Yes (126) | 47 | 26 | 24 | yes | PR | -63 |
| 5 | M, 47 | NFPA ^a → ACTH | >3 | Pos | 2 | Yes (86) | 60 | 93 | 12 | n.a. | SD | -6, -21 ^b |

Legend: *PA* Pituitary adenoma, *NFPA* non-functioning PA, *TMZ* temozolomide, *TLS to T0* time from latest surgery to starting TMZ in months, *HR* hormonal response, *n.a.* not applicable, *RT* radiotherapy (in brackets time from radiotherapy to TMZ treatment start), *PD* progression of disease, *PR* partial response, *SD* stable disease

^a NFPA with positive ACTH immunohistochemistry

^b Adenoma reduction after 6 months of combination treatment Pasireotide + TMZ

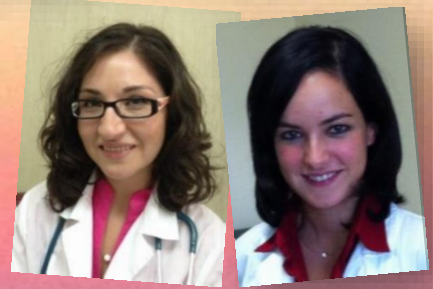
TAKE HOME MESSAGES

- Lo *shrinkage* del tumore ipofisario è stato l'*end point* primario solo di pochissimi, recenti studi, ma è un obiettivo di primaria importanza nel *management* dei pazienti con macroadenoma, soprattutto se gigante e/o invasivo, o in presenza di voluminoso residuo tumorale dopo chirurgia.
- I dati preliminari dimostrano che la terapia con pasireotide è capace di indurre un significativo *shrinkage* dei tumori ipofisari ACTH-secernenti, anche in pazienti *partial* o *non responders*.
- Alcune esperienze aneddotiche inducono a ritenere che un rapido controllo biochimico sia predittivo di un marcato *shrinkage* in tempi medio-lunghi.
- Il significato prognostico dello *shrinkage* nei microadenomi sarà certamente oggetto di future valutazioni e interpretazioni in relazione all'*outcome* terapeutico.

Grazie a voi... e a loro



ML Torre S Puglisi O Cotta M Ragonese F Ferrau PD Romeo



E Messina A Albani

Salvo Cannavò
cannavos@unime.it



Malattie Ipotalamo Ipofisarie

dimensione font   | [Stampa](#) | [Email](#)

Coordinatori Silvia Grottoli e Salvo Cannavò

Contatto mic@societaitalianadiendocrinologia.it

Presentazione

Nell'ambito delle [attività](#) della SIE, la costituzione di un Club delle Malattie Ipotalamo-Ipofisarie (MIC) è finalizzata alla promozione della ricerca scientifica, della formazione specialistica e dell'assistenza clinica dedicate alla fisiologia e alla fisiopatologia dell'asse ipotalamo-ipofisario. Il Club promuove la collaborazione fra studiosi dediti alla ricerca, sia clinica che di base, nell'ambito della fisiopatologia ipotalamo-ipofisaria e il confronto interdisciplinare fra medici specialisti coinvolti a vario titolo nell'assistenza al paziente, sia adulto che bambino, con malattie dell'asse ipotalamo-ipofisario.

In particolare, il MIC si propone:

- di favorire la collaborazione e gli scambi tra i vari centri italiani di riferimento per il trattamento dei pazienti con patologie ipotalamo-ipofisarie
- di favorire un approccio multidisciplinare ai pazienti con patologie della regione ipotalamo-ipofisaria, che veda la partecipazione di figure professionali differenti quali i neuroradiologi, i neurochirurghi, i pediatri, gli oculisti, ecc.
- di sostenere studi multicentrici osservazionali e di intervento, favorendo l'integrazione tra la ricerca di base e quella clinica
- di favorire gli scambi culturali fra i componenti del club, anche nella forma di stage e esperienze professionali fuorisede
- di organizzare eventi informativo-divulgativi che coinvolgano anche le associazioni dei pazienti
- di sostenere esigenze uniformi di assistenza nell'ambito delle malattie ipotalamo-ipofisarie su tutto il territorio italiano






Tutti coloro che fossero interessati ad aderire al club devono richiederlo inviando una mail all'indirizzo

mic@societaitalianadiendocrinologia.it

• CLUB SIE

- Endocrinologia Cardiovascolare
- Endocrinologia della Donna
- Endocrinologia e metabolismo dello sport e dell'esercizio fisico
- Osteoporosi e malattie metaboliche dell'osso
- EnGiol
- EndOnco
- Estetica e Benessere
- Malattie Ipotalamo Ipofisarie
- Malattie rare Endocrino Metaboliche
- Surrene

SIE Società Italiana di Endocrinologia

- SIE 
- ATTIVITA' 
- ENGIOI
- AGGIORNAMENTO 
- DIDATTICA e FORMAZIONE 
- AMMINISTRAZIONE 

4I Incontri italiani ipotalamo ipofisari

IX EDIZIONE

Torino, 11-13 febbraio 2016

Sede: *Cavallerizza Reale*
Via G. Verdi, 9

Comitato Coordinatore Locale

E. Arvat
E. Ghigo
S. Grottoli - *Coordinatore*

G. Aimaretti, F. Broglio, L. Ghizzoni,
L. Granata, R. Granata, F. Lanfranco,
M. Maccario, F. Orlandi, M. Terzolo, F. Zenga

Segreteria Locale

V. Gasco, F. Guaraldi, N. Prencipe, P. Razzore

Club SIE Ipotalamo-Ipofisi

Coordinatori

S. Cannavò, S. Grottoli

Consiglio Direttivo SIE

F. Trimarchi - *Presidente*
A. Lenzi - *Presidente Eletto*
E.A. Jannini - *Segretario*
M. Gasperi - *Tesoriere*

Consiglieri

G. Aimaretti, M. Arosio, A. Avogaro
M.G. Castagna, A. Colao, F. Pecori Giraldi
C.G. Krausz, R.C. Melcangi, G. Napolitano
R. Pasquali, M. Tonacchera

Segreteria Organizzativa

 FASI s.r.l.
Via R. Venuti, 73 - 00162 Roma
Tel. 06.97605610 | Fax 06.97605650
info@fasiweb.com | www.fasiweb.com

Provider ECM

 **4**educational

4Educational Srl
Via R. Venuti, 73 - 00162 Roma
Tel. +39 06 97605630 | fax +39 06 97605650
info@4educational.it | www.4educational.it

www.incontri4i.it

Club Malattie Ipotalamo-Ipofisarie: mic@societaitalianadiendocrinologia.it